

Chapitre III : Etude des Quadripôles linéaires

[Feldmann : Théorie des réseaux et syst. linéaires : Coll CNET, ENST, Eyrolles, 1981]

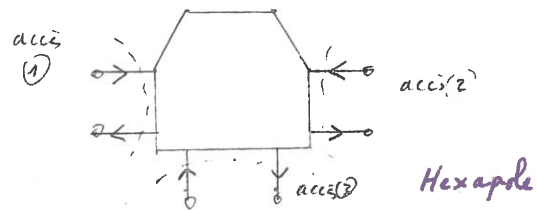
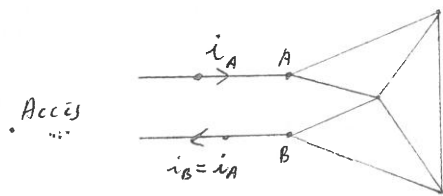
III.4) Définitions de base

Les lois de Kirchhoff ont été établies au sein de "réseaux" (KCL & KVL)

Déf : Réseaux à plusieurs accès (Multi-port Networks)

Accès (port) : On appelle accès une paire de nœuds sur chacun desquels on considère la connexion d'un conducteur (branche à $Z=0$) avec la contrainte* suivante : le courant entrant par l'une des branches de l'accès est égal au courant sortant par l'autre branche de l'accès (*Feldmann parle de Convention)

Déf : Dans un accès (port) on appelle courant à l'accès le courant entrant par l'une des branches l'orientation d'un accès revient à choisir le nœud entrant. (A voir la figure)

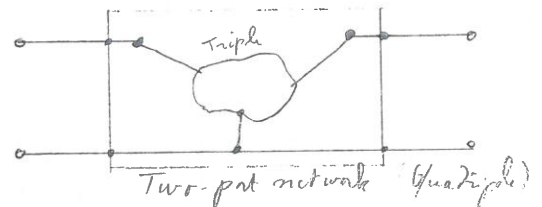


réseau à 1 accès : dipôle

2 accès : quadripôle

3 accès : hexapôle

4 accès : octopôle



Remarque : Il y a équivalence entre un réseau à (n) accès et un réseau à $(2n-1)$ pôles : En effet le $(n+1)$ ème nœud peut être disposé au potentiel de référence et chacun des autres nœuds est vu comme un accès, rapport au nœud de référence : Ex Triple \rightarrow (Two-port) Network $(n+1)$ pôles \Rightarrow n accès 2 accès $2n-1 = 3$ pôles 2 accès

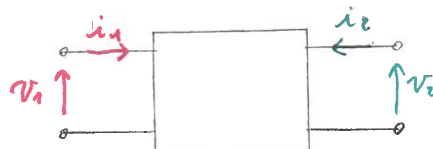
III.5) Spécifications propres aux quadripôles Q

Déf : le Q comporte 2 accès pour échange de charges avec l'extérieur.

L'entrée est l'accès auquel on applique un signal

La sortie transmet "une réponse" vers l'extérieur

Convention : Comme en Thermodynamique (grandeurs extensives) on compte positifs les courants entrant



III. B.1] Paramètres de quadripôles linéaires : généralités

Déf: On appelle λ les fonctions 2s éléments du \mathbb{Q} permettant d'expliquer les relations entre grandeurs d'entrée et grandeurs de sortie

On peut distinguer 6 groupes de paramètres

λ chaîne ^{Transfert} et λ chaîne inverse Matrice Caractéristique τ

λZ impédances et λY les admittances

λh hybrides et λg hybrides inverses

La tension d'entrée pour obtenir une unité de courant en sortie en court circuit : $\left(\frac{V_1}{I_2}\right)_{V_2=0}$ Egale

La tension de sortie pour obtenir une unité de courant en entrée en court circuit : $\left(\frac{V_2}{I_1}\right)_{V_1=0}$

III. B.2] les paramètres de chaîne : Transmission parameters T

a) T : $\begin{pmatrix} \text{Input} \end{pmatrix} = [T] \begin{pmatrix} \text{Output} \end{pmatrix}$ T matrice de transfert

La chaîne vérifiant les relations linéaires

$$V_1 = A \cdot V_2 - B \cdot i_2$$

soit

$$\begin{pmatrix} V_1 \\ i_1 \end{pmatrix} = \begin{bmatrix} A & B \\ C & D \end{bmatrix} \begin{pmatrix} V_2 \\ -i_2 \end{pmatrix}$$

$$i_1 = C \cdot V_2 - D \cdot i_2$$

① Remarque: pour un quadripôle passif le déterminant $AD - BC$ est unitaire

On le montre en reformulant le théorème de réciprocité

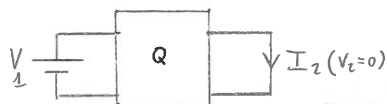
Si V_1 volts en entrée $\Rightarrow I_2$ Ampères en sortie

$$\left(\frac{V_1}{I_2}\right)_{V_2=0}$$

et la tension d'entrée pour 1A en "sortie court circuitée"

Th de Maxwell \Rightarrow équivalence avec

la tension de sortie pour 1A en "entrée court circuitée" $\left(\frac{V_2}{I_1}\right)_{V_1=0}$



$$\left(\frac{V_1}{I_2}\right)_{V_2=0} = \left(\frac{V_2}{I_1}\right)_{V_1=0}$$

Th. de réciprocité par un quadripôle

$$V_1 = A V_2 - B i_2 \quad (1)$$

$$i_1 = C V_2 - D i_2 \quad (2)$$

$$(1) \Rightarrow \left(\frac{V_1}{I_2}\right)_{V_2=0} = -B \quad \left\{ \begin{array}{l} \left(\frac{V_2}{I_1}\right)_{V_1=0} \end{array} \right.$$

$$(2) \text{ pour } V_1=0 \Rightarrow A V_2 = B i_2 \text{ et } i_2 = \frac{A}{B} V_2$$

$$(2) \quad V_2 = \frac{i_1 + D i_2}{C} = \frac{i_1}{C} + \frac{D}{C} \cdot \frac{A}{B} V_2$$

$$V_2 \left(1 - \frac{AD}{BC}\right) = \frac{i_1}{C} \Rightarrow \frac{V_2}{i_1} = \frac{1}{C} \cdot \frac{1}{1 - \frac{AD}{BC}} = \frac{1}{C - \frac{AD}{B}}$$

$$\text{Soit } -B = \frac{1}{C - \frac{AD}{B}} \quad \Leftrightarrow \quad -BC + AD = 1$$

$$\boxed{AD - BC = 1}$$

Déterminant unitaire de la matrice de chaîne

② Remarque: pour des raisons pratiques on préfère souvent oublier la convention de signe en

écrivant $i_2 = -i_1$: ne pas traîner de signes \ominus dans un calcul ...

$$V_2 = V_1$$

b) paramètres de chaîne inverse : Matrice caractéristique τ

$$\begin{pmatrix} V_2 \\ i_2 \end{pmatrix} = \begin{pmatrix} a & b \\ c & d \end{pmatrix} \begin{pmatrix} V_1 \\ i_1 \end{pmatrix}$$

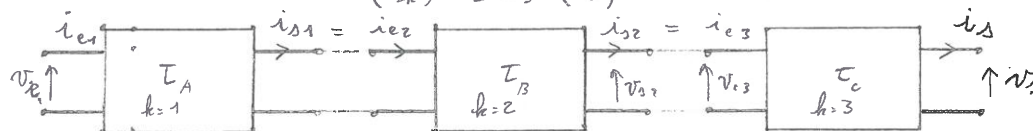
$$\tau = T^{-1} = \frac{1}{AD - BC} \begin{bmatrix} D & -B \\ -C & A \end{bmatrix}$$

$$(\text{Output}) = [\tau] (\text{Input})$$

La matrice caractéristique est très utile en pratique car elle permet de formuler le comportement cascade de systèmes

En effet sont TABTE la matrice caractéristique de 3 quadriples cascades

$$(G_k) = [T_k] \cdot (Y_k)$$



$$\begin{pmatrix} v_{s1} \\ i_{s1} \end{pmatrix} = T_A \begin{pmatrix} v_{e1} \\ i_{e1} \end{pmatrix}$$

$$\begin{pmatrix} v_{s2} \\ i_{s2} \end{pmatrix} = T_B \begin{pmatrix} v_{e2} \\ i_{e2} \end{pmatrix}$$

$$\begin{pmatrix} v_{s3} \\ i_{s3} \end{pmatrix} = T_C \begin{pmatrix} v_{e3} \\ i_{e3} \end{pmatrix}$$

$$\begin{pmatrix} v_{s3} \\ i_{s3} \end{pmatrix} = T_C \begin{pmatrix} v_{s2} \\ i_{s2} \end{pmatrix} = T_C \cdot T_B \begin{pmatrix} v_{e2} \\ i_{e2} \end{pmatrix} = T_C \cdot T_B \cdot T_A \begin{pmatrix} v_{e1} \\ i_{e1} \end{pmatrix}$$

la relation Output - Input d'un ensemble de n quadriples cascades pour matrice caractéristique

$$T = \prod_{k=1}^n (T_{n+1-k})$$

$$\text{Ex: } n=3 \quad (T_{3+1-1})(T_{3+1-2})(T_{3+1-3}) = T_3 \cdot T_2 \cdot T_1 \quad (G) = [T] \cdot (Y)$$

⚠ En général les produits ne sont pas commutatifs

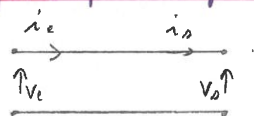
Réciproquement: on a $T^{-1} = (T)^{-1} = T_1^{-1} \cdot T_2^{-1} \cdot T_3^{-1}$

$(Y_{\text{input}}) = [T_1^{-1} \cdot T_2^{-1} \cdot T_3^{-1}] (Y_{\text{output}})$ (cascade des matrices de chaîne)

c) Exemples pour des quadriples simples

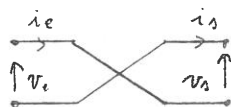
Matrice chaîne

liaison directe
 T_D



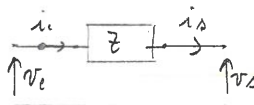
$$\begin{aligned} v_e &= 1 \cdot v_s + 0 \cdot i_s \\ i_e &= 0 \cdot v_s + 1 \cdot i_s \end{aligned} \quad \begin{pmatrix} v_e \\ i_e \end{pmatrix} = \begin{pmatrix} 1 & 0 \\ 0 & 1 \end{pmatrix} \cdot \begin{pmatrix} v_s \\ i_s \end{pmatrix}$$

liaison inverse
 T_i



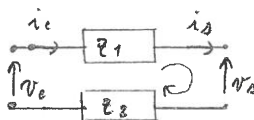
$$\begin{aligned} v_e &= -v_s + 0 \cdot i_s \\ i_e &= 0 \cdot v_s - 1 \cdot i_s \end{aligned} \quad \begin{pmatrix} v_e \\ i_e \end{pmatrix} = \begin{pmatrix} -1 & 0 \\ 0 & -1 \end{pmatrix} \cdot \begin{pmatrix} v_s \\ i_s \end{pmatrix}$$

liaison par impédance
 T_z



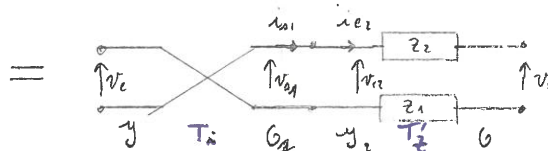
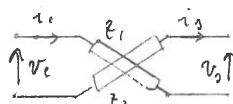
$$\begin{aligned} v_e &= Z \cdot i_e + v_s \\ i_e &= i_s \end{aligned} \quad \begin{pmatrix} v_e \\ i_e \end{pmatrix} = \begin{pmatrix} Z & 1 \\ 0 & 1 \end{pmatrix} \cdot \begin{pmatrix} v_s \\ i_s \end{pmatrix}$$

liaison par 2 imp. série
 T'_z



$$\begin{aligned} v_e &= Z_1 \cdot i_e + v_s + Z_2 \cdot i_s \\ i_e &= i_s \end{aligned} \quad \begin{pmatrix} v_e \\ i_e \end{pmatrix} = \begin{pmatrix} 1 & Z_1 + Z_2 \\ 0 & 1 \end{pmatrix} \cdot \begin{pmatrix} v_s \\ i_s \end{pmatrix}$$

L. par 2 Z conjugués
 T''_z



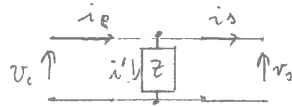
$$Y_2 = T'_z \cdot G$$

$$Y = T_i \cdot G_2 \quad \text{et} \quad G_2 = Y_2$$

$$\begin{aligned} Y &= [T_i] \cdot Y_2 = [T_i] [T'_z] \cdot G \\ Y &= T''_z \cdot G \end{aligned}$$

$$T''_z = \begin{pmatrix} -1 & 0 \\ 0 & -1 \end{pmatrix} \begin{pmatrix} 1 & Z_1 + Z_1^* \\ 0 & 1 \end{pmatrix} = \begin{pmatrix} -1 & -(Z_1 + Z_1^*) \\ 0 & -1 \end{pmatrix}$$

Liaison par Z shunt
 T_{sh}



$$v_e = v_s + 0 \cdot i_s$$

$$i_e = i_s + i_s \cdot \frac{v_s}{Z} = \frac{v_s}{Z} + i_s$$

$$\begin{pmatrix} v_e \\ i_e \end{pmatrix} = \begin{pmatrix} 1 & 0 \\ 1/Z & 1 \end{pmatrix} \begin{pmatrix} v_s \\ i_s \end{pmatrix}$$

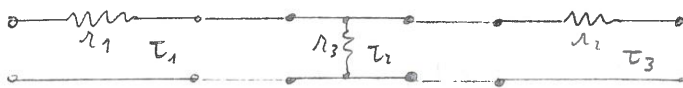
vision de la matrice caractéristique T (inverse de chaîne)

• les eq ci-dessus \Rightarrow $v_s = v_e$
ou l'inversion $T = (T)^{-1}$ $i_s = i_e - \frac{v_s}{Z}$

$$\begin{pmatrix} v_s \\ i_s \end{pmatrix} = \begin{pmatrix} 1 & 0 \\ -1/Z & 1 \end{pmatrix} \begin{pmatrix} v_e \\ i_e \end{pmatrix} \quad \left\{ \begin{array}{l} \text{Soit: } \frac{1}{\Delta} \cdot \begin{pmatrix} D & -B \\ -C & A \end{pmatrix} \\ \text{aussi: } \Delta = 1 \end{array} \right.$$

Cellule en "T": recherche de la relation $(\text{out}) = [T] \cdot (\text{in})$
Etoile

Il s'agit de déterminer la matrice caractéristique

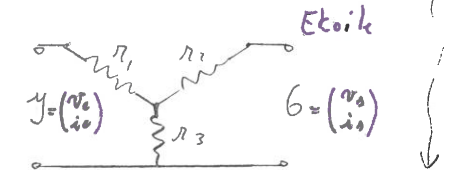


Après décom. before: $T = T_3 \cdot T_2 \cdot T_1$

$$T = \begin{pmatrix} 1 & -R_2 \\ 0 & 1 \end{pmatrix} \begin{pmatrix} 1 & 0 \\ -1/R_3 & 1 \end{pmatrix} \begin{pmatrix} 1 & -R_1 \\ 0 & 1 \end{pmatrix}$$

$$[T_3][T_2] = \begin{bmatrix} 1 + \frac{R_2}{R_3} & -R_2 \\ -1/R_3 & 1 \end{bmatrix}$$

$$T_3 T_2 T_1 = \begin{bmatrix} 1 + \frac{R_2}{R_3} & -R_2 \\ -1/R_3 & 1 \end{bmatrix} \begin{bmatrix} 1 & -R_1 \\ 0 & 1 \end{bmatrix} =$$

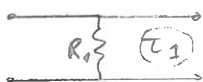


$$T_1 = [T_1]^{-1} = \begin{pmatrix} 1 & R_1 \\ 0 & 1 \end{pmatrix}^{-1} = \begin{pmatrix} 1 & -R_1 \\ 0 & 1 \end{pmatrix}$$

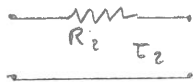
$$\begin{bmatrix} 1 + \frac{R_2}{R_3} & -R_2 - R_2 - \frac{R_1 R_2}{R_3} \\ -1/R_3 & 1 + R_1/R_3 \end{bmatrix} = T_m$$

Cellule en Π : recherche de la relation $(\text{out}) = [T_\Pi] \cdot (\text{in})$
Triangle

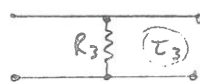
La matrice caractéristique $T = T_3 \cdot T_2 \cdot T_1$



$$T_1 = \begin{pmatrix} 1 & 0 \\ -1/R_1 & 1 \end{pmatrix}$$



$$T_2 = \begin{pmatrix} 1 & -R_2 \\ 0 & 1 \end{pmatrix}$$

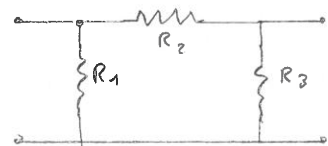


$$T_3 = \begin{pmatrix} 1 & 0 \\ -1/R_3 & 1 \end{pmatrix}$$

$$[T_3][T_2] = \begin{pmatrix} 1 & 0 \\ -1/R_3 & 1 \end{pmatrix} \begin{pmatrix} 1 & -R_2 \\ 0 & 1 \end{pmatrix} = \begin{pmatrix} 1 & -R_2 + 0 \\ -1/R_3 & +R_2/R_3 + 1 \end{pmatrix}$$

$$\text{Soit } T_1 \begin{pmatrix} 1 & 0 \\ -1/R_1 & 1 \end{pmatrix} \Rightarrow$$

$$T_\Pi = \begin{bmatrix} 1 + \frac{R_2}{R_3} & -R_2 \\ -1/R_3 & 1 + \frac{R_2}{R_3} \end{bmatrix}$$



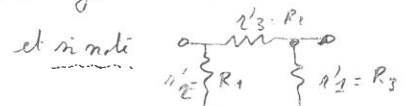
Triangle

Remarques: D'une manière générale on considère des impédances pas seulement des résistances pour l'étude de structures de filtres en Π ou en Π

• Le déterminant des matrices précédentes reste unitaire

• Passage Triangle \rightarrow étoile (Th de Kennedy) si par ex on a égal c et c'

$$\frac{1}{R_3} = \frac{1}{R_3} + \frac{1}{R_1} + \frac{R_2}{R_1 R_3} \Rightarrow R_3 (\text{étoile}) = \frac{1}{\frac{1}{R_3} + \frac{1}{R_1} + \frac{R_2}{R_1 R_3}} = \frac{R_1 R_3}{R_1 + R_3 + R_2}$$



$$R_3 = \frac{R_1 R_2}{R_1 + R_2 + R_3}$$

et par permutation circulaire

$$R_2 = \frac{R_1 R_3}{R_1 + R_2 + R_3}$$

$$R_1 = \frac{R_2 R_3}{R_1 + R_2 + R_3}$$



Triangle

fin du cours n° 7
je pourrais donner Kennedy
en sujet

Two-ports networks fundamentals



Transmission
T

$$\begin{bmatrix} V_1 \\ I_1 \end{bmatrix} = \begin{bmatrix} A & B \\ C & D \end{bmatrix} \cdot \begin{bmatrix} V_2 \\ -I_2 \end{bmatrix}$$

T^{-1} is the characteristic matrix



Impedance
Z

$$\begin{bmatrix} V_1 \\ V_2 \end{bmatrix} = \begin{bmatrix} Z_{11} & Z_{12} \\ Z_{21} & Z_{22} \end{bmatrix} \cdot \begin{bmatrix} I_1 \\ I_2 \end{bmatrix}$$

Z^{-1} is the admittance matrix



Admittance
Y

$$\begin{bmatrix} I_1 \\ I_2 \end{bmatrix} = \begin{bmatrix} Y_{11} & Y_{12} \\ Y_{21} & Y_{22} \end{bmatrix} \cdot \begin{bmatrix} V_1 \\ V_2 \end{bmatrix}$$

Y^{-1} is the impedance matrix



Hybrid h
parameters
h

$$\begin{bmatrix} V_1 \\ I_2 \end{bmatrix} = \begin{bmatrix} h_{11} & h_{12} \\ h_{21} & h_{22} \end{bmatrix} \cdot \begin{bmatrix} I_1 \\ V_2 \end{bmatrix}$$

h^{-1} is the inverse hybrid matrix G

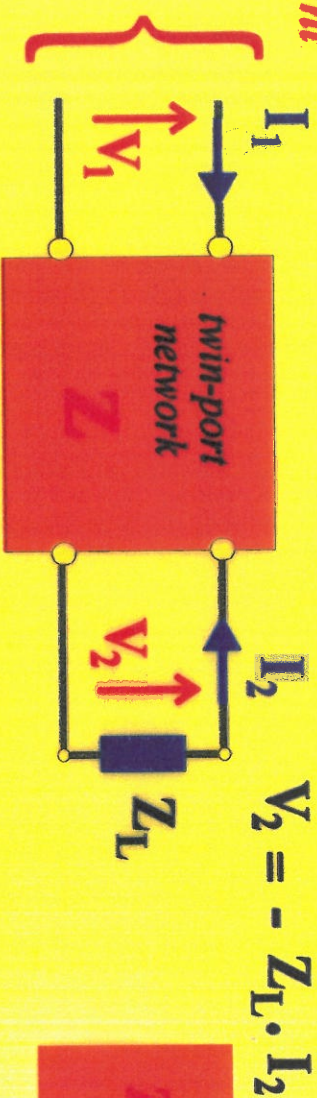
Two-ports networks input & output impedances

or $Z_{in} = Z_{11} + Z_L$ & $Z_o = Z_{22} - \frac{Z_{12} \cdot Z_{21}}{Z_{11} + Z_L}$
at port 2
input impedance
at port 1
output impedance
at port 2
input impedance
at port 1

Input measurement considering an output load impedance Z_L

measurement

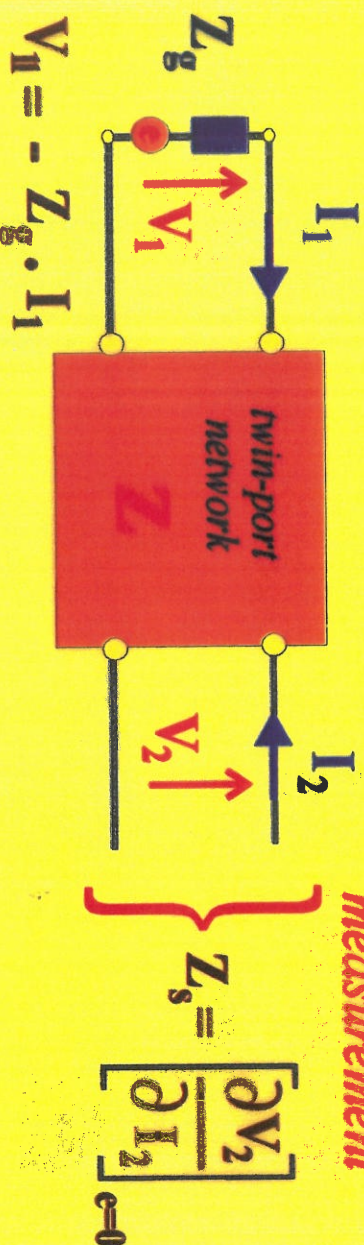
$$Z_e = \frac{V_1}{I_1}$$



$$Z_e = Z_{11} - \frac{Z_{12} \cdot Z_{21}}{Z_{22} + Z_L}$$

Output measurement considering a generator featuring a given impedance Z_g

measurement



$$Z_o = Z_{22} - \frac{Z_{12} \cdot Z_{21}}{Z_{11} + Z_g}$$

! La grandeur Impédance est parmi les autres paramètres la grandeur la plus utilisée en électronique

III. B. 3] Paramètres impédances d'un quadripôle et paramètres admittance

Les observables d'un Q (2 port Network) sont au nombre de 4 (v_1, i_1, v_2, i_2)
chaque observable peut être exprimée en fonction de 2 des 3 autres

a) Si on choisit d'exprimer $v_1 = f(i_1, i_2)$ et $v_2 = f(i_1, i_2)$ les paramètres de liaison seront des impédances : Soit

$$\begin{aligned} v_1 &= z_{11} i_1 + z_{12} i_2 \quad (1) \\ v_2 &= z_{21} i_1 + z_{22} i_2 \quad (2) \end{aligned} \quad \begin{pmatrix} v_1 \\ v_2 \end{pmatrix} = \begin{pmatrix} z_{11} & z_{12} \\ z_{21} & z_{22} \end{pmatrix} \begin{pmatrix} i_1 \\ i_2 \end{pmatrix} \quad \text{ou} \quad (V) = [Z] \cdot (I)$$

Le Théorème de réciprocité montre que :

La tension d'entrée pour obtenir 1 unité de courant en sortie court circuitée $\left(\frac{v_1}{i_2}\right)_{v_2=0}$ égale
la tension de sortie pour obtenir 1 unité de courant en l'entrée court circuitée $\left(\frac{v_2}{i_1}\right)_{v_1=0}$

Il en découle une relation de contrainte sur les paramètres impédances, de la même manière qu'on avait déduit le caractère unitaire du déterminant des matrices chaîne et caractéristique

Soit : $\left(\frac{v_1}{i_2}\right)_{v_2=0}$

$$\begin{aligned} \left(\frac{v_1}{i_2}\right)_{v_2=0} &= z_{11} \left(\frac{i_1}{i_2}\right)_{v_2=0} + z_{12} \quad \text{avec selon (2) si } v_2=0 \quad \frac{i_1}{i_2} = \frac{-z_{22}}{z_{21}} \\ &= z_{11} \cdot \frac{-z_{22}}{z_{21}} + z_{12} = \frac{1}{z_{21}} \cdot (z_{12} \cdot z_{22} - z_{11} z_{21}) \end{aligned}$$

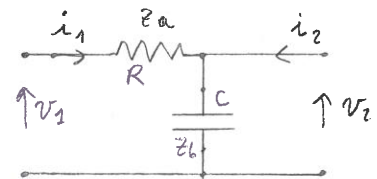
D'autre part

$$\begin{aligned} \left(\frac{v_2}{i_1}\right)_{v_1=0} &= z_{21} + z_{22} \cdot \left(\frac{i_2}{i_1}\right)_{v_1=0} \quad \text{avec selon (1) si } v_1=0 \quad \frac{i_2}{i_1} = \frac{-z_{11}}{z_{12}} \\ &= z_{21} + z_{22} \cdot \frac{-z_{11}}{z_{12}} = \frac{1}{z_{12}} \cdot (z_{12} \cdot z_{22} - z_{11} z_{21}) \end{aligned}$$

Il découle du Th de réciprocité : $z_{21} = z_{12}$ La matrice impédance est symétrique

Exemple d'expression : Quadripôle cellulaire passif RC

$$\begin{aligned} (2) \quad v_1 &= z_a \cdot i_1 + z_b \cdot (i_1 + i_2) = R \cdot i_1 + \frac{1}{j\omega C} (i_1 + i_2) \\ v_2 &= z_b \cdot (i_1 + i_2) = \frac{1}{j\omega C} (i_1 + i_2) \end{aligned} \quad \text{Soit } Z = \begin{bmatrix} R + \frac{1}{j\omega C} & \frac{1}{j\omega C} \\ \frac{1}{j\omega C} & \frac{1}{j\omega C} \end{bmatrix}$$



(3) On peut aussi écrire à partir du sens physique

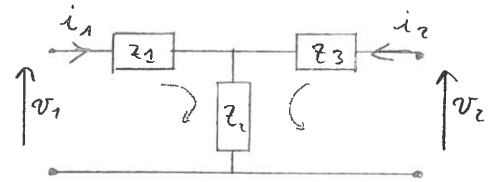
$$\begin{aligned} z_{11} &= \left(\frac{v_1}{i_1}\right)_{i_2=0} = z_a + z_b = R + \frac{1}{j\omega C} & z_{22} &= \left(\frac{v_2}{i_2}\right)_{i_1=0} = z_b = \frac{1}{j\omega C} \\ z_{12} &= z_{21} = \left(\frac{v_2}{i_1}\right)_{i_2=0} = z_b \cdot \frac{i_1}{i_1} = \frac{1}{j\omega C} \end{aligned}$$

cette seconde manière présente l'avantage d'être applicable en l'absence de connaissance de la structure interne du quadripôle. Dans l'exemple z_a impédance d'entrée sortie Q ouverte c'est une Description en terme de mesures, (accessible à la mesure)

Autre exemple d'expression : cellule en T (Triangle)

② On peut écrire directement (convention i_2 entrant)

$$\left. \begin{aligned} v_1 &= z_1 \cdot i_1 + z_2 (i_1 + i_2) \\ v_2 &= z_3 \cdot i_2 + z_2 (i_1 + i_2) \end{aligned} \right\} \begin{pmatrix} v_1 \\ v_2 \end{pmatrix} = \begin{bmatrix} z_1 + z_2 & z_2 \\ z_2 & z_2 + z_3 \end{bmatrix} \cdot \begin{pmatrix} i_1 \\ i_2 \end{pmatrix}$$



Si $z_1 = z_3$ le quadripôle est physiquement symétrique $z_{11} = z_{22}$

③ ou selon le sens physique des définitions (méthode plus pertinente)

$$v_1 = z_{11} \cdot i_1 + z_{12} \cdot i_2$$

$$v_2 = z_{21} \cdot i_1 + z_{22} \cdot i_2$$

$$z_{11} = \left(\frac{v_1}{i_1} \right)_{i_2=0} = z_1 + z_2$$

Sortie open

$$z_{22} = \left(\frac{v_2}{i_2} \right)_{i_1=0} = z_3 + z_2$$

Entrée ouverte

$$z_{12} = z_{21} = \left(\frac{v_2}{i_1} \right)_{i_2=0} = \frac{z_2 \cdot i_1}{i_1} = z_2$$

Remarque sur les conventions :

Certains auteurs considèrent la relation v_2, v_3, i_2, i_3 avec $\begin{pmatrix} v_2 \\ v_3 \end{pmatrix} = [Z] \begin{pmatrix} i_2 \\ i_3 \end{pmatrix}$
 sachant que $i_3 = -i_2$ $Z = \begin{pmatrix} z_{11} & z_{12} \\ z_{21} & z_{22} \end{pmatrix} = \begin{pmatrix} z_{11} & -z_{12} \\ z_{21} & -z_{22} \end{pmatrix}$ (Antisymétrie de la matrice)

b) Les paramètres admittances

On exprime les courants fonction des tensions $(I) = [Y] \cdot (V)$

$$i_1 = Y_{11} \cdot v_1 + Y_{12} \cdot v_2$$

$$i_2 = Y_{21} \cdot v_1 + Y_{22} \cdot v_2$$

$$\begin{pmatrix} i_1 \\ i_2 \end{pmatrix} = \begin{pmatrix} Y_{11} & Y_{12} \\ Y_{21} & Y_{22} \end{pmatrix} \begin{pmatrix} v_1 \\ v_2 \end{pmatrix}$$

Th. de Réciprocité
 $i_1 = Y_{11} v_1 + Y_{12} v_2$ avec $\left(\frac{v_1}{i_2} \right)_{v_2=0} = \left(\frac{v_1}{i_1} \right)_{v_1=0}$
 $i_2 = Y_{21} v_1 + Y_{22} v_2$ avec $\left(\frac{v_2}{i_1} \right)_{v_1=0} = \left(\frac{v_2}{i_2} \right)_{v_2=0} = \frac{1}{Y_{12}}$
 Soit $Y_{12} = Y_{21}$

Le Théorème de réciprocité entraîne la symétrie de la matrice

$$Y_{12} = Y_{21}$$

La matrice admittance est l'inverse de la matrice impédance

$$[Y] = \begin{bmatrix} \frac{z_{22}}{\Delta z} & -\frac{z_{12}}{\Delta z} \\ -\frac{z_{21}}{\Delta z} & \frac{z_{11}}{\Delta z} \end{bmatrix} \quad \text{avec } \Delta z = z_{11} \cdot z_{22} - z_{12} \cdot z_{21}$$

Déterminant de $[Z]$

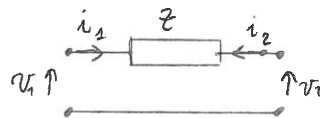
R à dimensionner
(contrôle final?)

Exemple d'écriture : liaison impédance série

$$\left. \begin{aligned} v_1 &= v_2 + z \cdot i_1 \\ i_2 &= -i_1 \end{aligned} \right\} \text{On cherche une forme}$$

$$i_2 = -i_1$$

$$\begin{pmatrix} i_1 \\ i_2 \end{pmatrix} = (Y) \begin{pmatrix} v_1 \\ v_2 \end{pmatrix}$$



$$v_1 = \frac{v_1 - v_2}{z} = \frac{1}{z} v_1 - \frac{1}{z} v_2$$

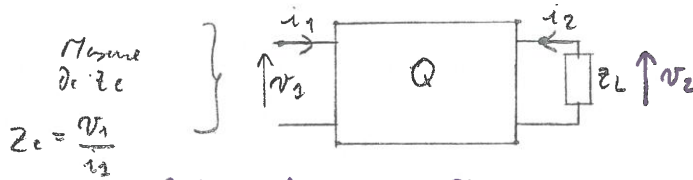
$$i_2 = -i_1 = -\frac{1}{z} v_1 + \frac{1}{z} v_2$$

$$\begin{pmatrix} i_1 \\ i_2 \end{pmatrix} = \begin{bmatrix} 1/z & -1/z \\ -1/z & 1/z \end{bmatrix} \cdot \begin{pmatrix} v_1 \\ v_2 \end{pmatrix}$$

c) Impédances d'entrée et de sortie des quadripôles

c.1) Impédance d'entrée d'un quadripôle

Z_e est l'impédance présentée à l'entrée du quadripôle en charge sur une impédance Z_L



Soit à définir $Z_e = \frac{v_1}{i_1}$

$$i_2 = -i_2$$

$$v_2 = Z_L \cdot i_2 = -Z_L \cdot i_2$$

$$v_1 = Z_{11} \cdot i_1 + Z_{12} \cdot i_2 \quad (1)$$

$$v_2 = Z_{21} \cdot i_1 + Z_{22} \cdot i_2 \quad (2)$$

Soit $Z_e = Z_{11} + Z_{12} \cdot \left(\frac{i_2}{i_1}\right)$

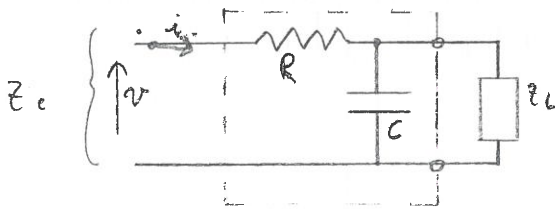
avec (2) et $v_2 = -Z_L \cdot i_2 = Z_{21} \cdot i_1 + Z_{22} \cdot i_2$

$$i_2(-Z_L - Z_{22}) = Z_{21} \cdot i_1 \quad \left\{ \begin{array}{l} \frac{i_2}{i_1} = \frac{-Z_{21}}{-Z_L - Z_{22}} \end{array} \right.$$

$$Z_e = Z_{11} + \frac{Z_{12} \cdot Z_{21}}{Z_L + Z_{22}} \quad (3)$$

Expression générale de l'impédance d'entrée d'un quadripôle

Vérification de la relation sur un exemple : filtre RC avec une charge Z_L



On a directement

$$Z_e = R + Z_C \parallel Z_L = R + \frac{\frac{1}{j\omega C} \cdot Z_L}{\frac{1}{j\omega C} + Z_L} = R + \frac{Z_L}{1 + j\omega Z_L}$$

On doit vérifier avec le filtre RC: cf § II.B.3.a.α

$$Z_{11} = R + \frac{1}{j\omega C} \quad Z_{12} = Z_{21} = \frac{1}{j\omega C} \quad Z_{22} = \frac{1}{j\omega C}$$

Relation $Z_e \Rightarrow (3)$

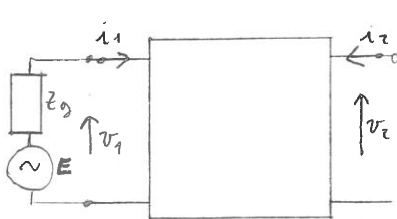
$$Z_e = R + \frac{1}{j\omega C} + \frac{-\frac{1}{j\omega C}}{\frac{1}{j\omega C} + \frac{1}{j\omega C}} = R + \frac{1}{j\omega C} + \frac{1/j\omega C}{1 + 1} = R + \frac{1}{j\omega C} + \frac{1}{2j\omega C}$$

On retrouve bien

l'expression directe

c.2) Impédance de sortie d'un quadripôle

Z_s est l'impédance présentée par le générateur équivalent (Thévenin ou Norton) à la sortie du quadripôle lorsque ce dernier est sollicité par un générateur d'impédance Z_g



$$Z_s = \frac{\partial v_2}{\partial i_2} = \left[\frac{v_2}{i_2} \right]_{E=0}$$

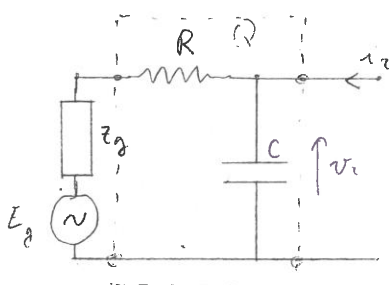
Soit selon 2 $Z_s = Z_{22} + Z_{21} \frac{i_1}{i_2}$
 (on définit $\frac{i_1}{i_2}$ selon 1 avec $v_2 = -Z_g \cdot i_1$)

$$\Rightarrow -Z_g \cdot i_1 = Z_{11} i_1 + Z_{12} i_2 \Rightarrow \frac{i_1}{i_2} = \frac{-Z_{12}}{Z_{11} + Z_g}$$

$$Z_s = Z_{22} - \frac{Z_{21} \cdot Z_{12}}{Z_{11} + Z_g} \quad (4)$$

Expression générale de l'impédance de sortie d'un quadripôle

Vérification de la relation sur un exemple : filtre RC sollicité par un générateur d'impédance z_g



o Calcul direct

$$z_s = (R + z_g) \parallel (z_{cap})$$

$$= \frac{(R + z_g) / j\omega C}{(R + z_g) + \frac{1}{j\omega C}} \Rightarrow z_s = \frac{R + z_g}{1 + (R + z_g)j\omega C}$$

o Application de la relation générale

avec pour la cellule RC $z_{11} = R + \frac{1}{j\omega C}$ $z_{12} = z_{21} = \frac{1}{j\omega C}$ $z_{22} = \frac{1}{j\omega C}$

Soit (4) $\Rightarrow z_s = z_{22} - \frac{z_{12}z_{21}}{z_{11} + z_{22}}$

soit $z_s = \frac{1}{j\omega C} - \frac{\frac{1}{j\omega C} \cdot \frac{1}{j\omega C}}{(R + \frac{1}{j\omega C}) + \frac{1}{j\omega C}} = \frac{z_g + R + \frac{1}{j\omega C} + \frac{j\omega C}{1}}{(z_g + R) + \frac{1}{j\omega C}} = \frac{(z_g + R) + \frac{1}{j\omega C} - \frac{1}{j\omega C}}{1 + (R + z_g)j\omega C} \quad (\diamond)$

2.3) Impédances particulières d'entrée et de sortie des quadripôles passifs

Nous avons montré, de manière générale :

$$z_e = z_{11} - \frac{z_{12}^2}{z_{22} + z_L} \quad \text{à l'entrée d'un Q relié sur } z_L$$

Avec $v_1 = z_{11} i_1 + z_{12} i_2$

$v_2 = z_{21} i_1 + z_{22} i_2$

On distingue en pratique

$$z_s = z_{22} - \frac{z_{12}^2}{z_{11} + z_g} \quad \text{en sortie d'un Q sollicité avec } z_g$$

2.3.1) $z_{e\infty}$ impédance d'entrée à sortie ouverte ($z_L = \infty$)

$$z_{e\infty} = \left(\frac{v_1}{i_1} \right)_{i_2=0} = z_{11}$$

2.3.2) z_{e0} impédance d'entrée à sortie en court circuit ($z_L = 0$)

$$z_{e0} = \left(\frac{v_1}{i_1} \right)_{v_2=0} = (\text{relation générale}) \Rightarrow z_{e0} = z_{11} - \frac{z_{12}^2}{z_{22}}$$

2.3.3) $z_{s\infty}$ impédance de sortie, entrée à $z_g = \infty$ (sollicité en court-circuit)

$$z_{s\infty} = \left(\frac{\partial v_2}{\partial i_2} \right)_{i_1=0} = z_{22}$$

2.3.4) z_{s0} impédance de sortie, entrée en court circuit ($z_g = 0$) (sollicité en court-circuit)

$$z_{s0} = \left(\frac{\partial v_2}{\partial i_2} \right)_{v_1=0} = (\text{relation générale}) \Rightarrow z_{s0} = z_{22} - \frac{z_{12}^2}{z_{11}}$$

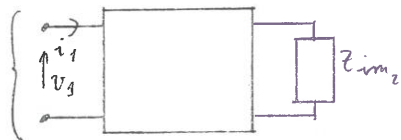
2.3.5) z_{im} : Impédances images : z_{im1} en entrée z_{im2} en sortie (Uniquement Quadripôles passifs)

Les impédances images sont définies par le couple z_{im1} et z_{im2} telles que :

o si Q est chargé par z_{im2} en sortie, son impédance d'entrée est z_{im1}

o si Q est sollicité sous impédance z_{im1} , son impédance de sortie est z_{im2}

TAC

Soient les schémas des deux situations de définition des impédances imagesJe mesure Z_{im1} en cette entréeAvec la manière générale: $Z_e = Z_{11} - \frac{Z_{12}^2}{Z_{22} + Z_L}$

Déf:

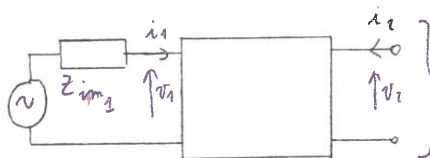
$$\textcircled{1} \quad Z_{im1} = Z_{11} - \frac{Z_{12}^2}{Z_{22} + Z_{im2}}$$

$$Z_{im1} = \sqrt{Z_{e0} \cdot Z_{e\infty}}$$

$$\text{avec } Z_{e0} = Z_{11} - \frac{Z_{12}^2}{Z_{22}}$$

$$Z_{e\infty} = Z_{11}$$

$$Z_{im1} = \sqrt{Z_{11} \cdot \left(Z_{11} - \frac{Z_{12}^2}{Z_{22}} \right)}$$

Je mesure Z_{im2} au niveau de cette sortieAvec la manière générale: $Z_s = Z_{22} - \frac{Z_{12}^2}{Z_{11} + Z_g}$

Déf:

$$\textcircled{2} \quad Z_{im2} = Z_{22} - \frac{Z_{12}^2}{Z_{11} + Z_{im1}}$$

$$Z_{im2} = \sqrt{Z_{s0} \cdot Z_{s\infty}}$$

$$\text{avec } Z_{s0} = Z_{22} - \frac{Z_{12}^2}{Z_{11}}$$

$$Z_{s\infty} = Z_{22}$$

$$Z_{im2} = \sqrt{Z_{22} \cdot \left(Z_{22} - \frac{Z_{12}^2}{Z_{11}} \right)}$$

Ces définitions et les définitions précédentes conduisent encore à exprimer:

soit à montrer que:

Démonstration (pour Z_{im1}) : On recherche d'abord la relation de contrainte liée aux égalités $\textcircled{1}$ et $\textcircled{2}$ simultanées

$$\left. \begin{aligned} \textcircled{1} \Rightarrow Z_{im1} Z_{22} + Z_{im2} Z_{im2} &= Z_{11} \cdot Z_{22} + Z_{im2} Z_{11} - Z_{12}^2 \\ \textcircled{2} \Rightarrow Z_{im2} Z_{11} + Z_{im1} Z_{im1} &= Z_{11} \cdot Z_{22} + Z_{im1} Z_{22} - Z_{12}^2 \end{aligned} \right\} \Delta$$

$$Z_{im1} Z_{22} - Z_{im2} Z_{11} = Z_{im2} Z_{11} - Z_{im1} Z_{22} \Rightarrow 2 \cdot Z_{im1} Z_{22} = 2 \cdot Z_{im2} \cdot Z_{11}$$

$$\text{Soit : } \boxed{Z_{im1} \cdot Z_{22} = Z_{im2} \cdot Z_{11}} \quad \textcircled{3} \quad \text{relation entre impédances images}$$

$$\rightarrow \text{D'après } Z_{im1} : \textcircled{3} \text{ dans } \textcircled{1} \Rightarrow Z_{im1} = Z_{11} - \frac{Z_{12}^2}{Z_{22} + Z_{im1} \frac{Z_{22}}{Z_{11}}} \Rightarrow Z_{im1} Z_{22} + Z_{im1}^2 \frac{Z_{22}^2}{Z_{11}} = Z_{11} Z_{22} + Z_{im1} Z_{22} - Z_{12}^2$$

$$\text{Soit } Z_{im1}^2 = Z_{11}^2 - \frac{Z_{11} \cdot Z_{12}^2}{Z_{22}} \Rightarrow Z_{im1} = \sqrt{Z_{11} \cdot \left(Z_{11} - \frac{Z_{12}^2}{Z_{22}} \right)} = \sqrt{Z_{e0} \cdot Z_{e\infty}}$$

Même démonstration par établir $Z_{im2} = \sqrt{Z_{s0} \cdot Z_{s\infty}}$

$$\textcircled{3} \text{ dans } \textcircled{2} \Rightarrow Z_{im2} = Z_{22} - \frac{Z_{12}^2}{Z_{11} + Z_{im2} \frac{Z_{11}}{Z_{22}}} \Rightarrow Z_{im2} Z_{11} + Z_{im2}^2 \frac{Z_{11}^2}{Z_{22}} = Z_{11} Z_{22} + Z_{im2} Z_{11} - Z_{12}^2$$

$$\text{Soit } Z_{im2}^2 = Z_{22}^2 - \frac{Z_{22} \cdot Z_{12}^2}{Z_{11}} \Rightarrow Z_{im2} = \sqrt{Z_{22} \cdot \left(Z_{22} - \frac{Z_{12}^2}{Z_{11}} \right)} = \sqrt{Z_{s0} \cdot Z_{s\infty}}$$

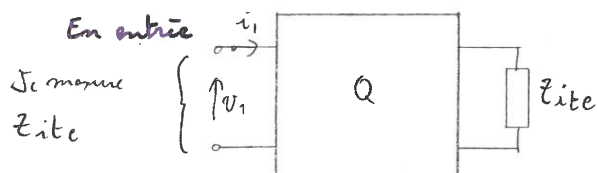
impédances de transmission et du quadripôle

c.3.6) Impédances itératives d'entrée et de sortie des quadripôles

Déf: En entrée: c'est la valeur Z_{ite} de la charge qui connectée en sortie de Q définit la même valeur Z_{ite} mesurée en entrée

En sortie: c'est la valeur Z_{its} de la charge qui connectée en entrée de Q définit la même valeur Z_{its} mesurable en sortie

Illustration:



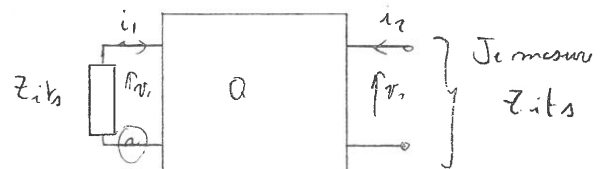
De manière générale on écrit

$$Z_e = Z_{11} - \frac{Z_{12}^2}{Z_{22} + Z_L}$$

Soit en particulier,

$$Z_{ite} = Z_{11} - \frac{Z_{12}^2}{Z_{22} + Z_{its}}$$

En sortie



De manière générale en sortie

$$Z_s = Z_{22} - \frac{Z_{12}^2}{Z_{11} + Z_g}$$

Soit en particulier,

$$Z_{its} = Z_{22} - \frac{Z_{12}^2}{Z_{11} + Z_{ite}}$$

$$Z_{ite} \cdot Z_{22} + Z_{ite}^2 = Z_{11} Z_{22} + Z_{11} \cdot Z_{ite} - Z_{12}^2$$

$$Z_{its} \cdot Z_{11} + Z_{its}^2 = Z_{11} Z_{22} + Z_{22} \cdot Z_{its} - Z_{12}^2$$

En l'état, il n'y a rien de spécifique sans à regrouper ... et résoudre

$$Z_{ite}^2 + Z_{ite}(Z_{22} - Z_{11}) + (Z_{12}^2 - Z_{11}Z_{22}) = 0$$

$$Z_{its}^2 + Z_{its}(Z_{11} - Z_{22}) + (Z_{12}^2 - Z_{11}Z_{22}) = 0$$

Separement il importe de considérer le cas particulier des quadripôles **physiquement symétriques**

Un générateur à G ou à D₁ de Q voit le même comportement (invariance par permutation Entrée/Sortie)

Ainsi $Z_{11} = Z_{22}$ pour les Q symétriques physiquement. Soit

$$Z_{e0} = Z_{s0} \quad Z_{e\infty} = Z_{s\infty}$$

$$Z_{ite} = Z_{its} = \sqrt{Z_{11}^2 - Z_{12}^2} = \sqrt{Z_{11} \left(Z_{11} - \frac{Z_{12}^2}{Z_{11}} \right)} = \sqrt{Z_{22} \left(Z_{22} - \frac{Z_{12}^2}{Z_{22}} \right)}$$

$$(d'après) \quad Z_{ite} = Z_{its} = \sqrt{Z_{e\infty} \cdot Z_{e0}} = \sqrt{Z_{s0} \cdot Z_{s\infty}} = Z_{im1} = Z_{im2}$$

Cette valeur commune d'impédance est nommée **Impédance caractéristique Z_c**

(typiquement et exclusivement pour les Q physiquement symétriques)

$$Z_c = \sqrt{Z_{e\infty} \cdot Z_{e0}} = \sqrt{Z_{s0} \cdot Z_{s\infty}}$$

Application aux câbles coaxiaux

Les câbles d'instrumentation mentionnent 50 Ω

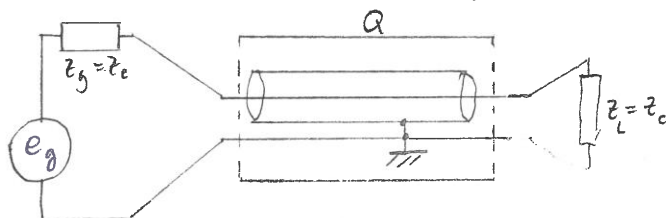
Les câbles d'antenne TV mentionnent 75 Ω

Cables coaxiaux

En négligeant les pertes ohmiques de ces câbles on peut considérer que l'assemblage câble + charge adaptée ($Z_L = Z_c$) présente à son entrée : $Z = Z_c$

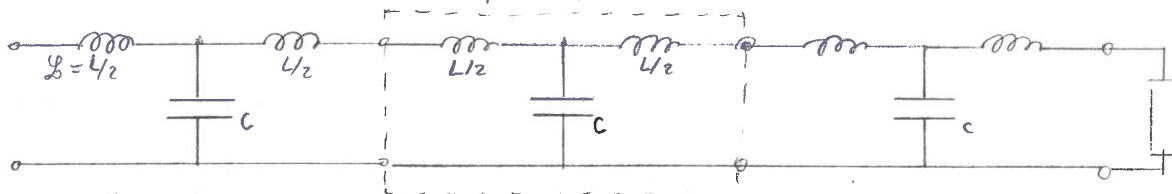
Le câble devient transparent pour le générateur qui voit directement sur Z_L

// pour Z_L qui voit être sollicité par le générateur ($Z_g \neq Z_c$)



modélisation:

Le câble peut être assimilé à la disposition cascade de cellules (LC) représentatives de la capa linéique et self linéique (C et L par unité de longueur)



Considérons l'un des éléments Q

$$Z_{eo} = Z_{so} = \left(\frac{V_1}{I_1} \right)_{i_2=0} = j\omega L + \frac{1}{j\omega C} = \frac{1 - LC\omega^2}{j\omega C}$$

$$\text{Soit } Z_c^2 = Z_{eo} \cdot Z_{so}$$

$$= \frac{(1 - LC\omega^2)}{j\omega C} \cdot \left(j\omega L + \frac{j\omega L}{1 - LC\omega^2} \right) = (1 - LC\omega^2) \cdot \frac{L}{C} + \frac{L}{C} = \frac{L}{C} (2 - LC\omega^2)$$

Soit à considérer l'Hypothèse de basse fréquence relative:

$$LC\omega^2 \ll 2 \quad \text{ou encore } \omega \ll \frac{1}{\sqrt{LC}} \quad \text{fréquence de résonance de la cellule}$$

$$Z_c = \sqrt{\frac{L}{C}}$$

$$\Rightarrow \boxed{Z_c = \sqrt{\frac{L}{C}}}$$

impédance caractéristique du câble où L et C sont des self et capa linéiques

Remarque: Il faut tenir compte en réalité d'une résistance linéique représentative de la chute de tension dans le câble, et même qu'une conductance linéique traduisant les "fuites" de courant. Le Pb se traite en général sous la forme d'une équation diff du second ordre appelée

Equation des télégraphistes dont les divers cas de figures (Thermique par ex) ramènent bien à la Théorie des lignes

III. B.4] Paramètres hybrides et hybrides inverses

③ Déf: Les paramètres ont par définition:

$$v_1 = h_{11} \cdot i_1 + h_{12} \cdot v_2$$

$$i_2 = h_{21} \cdot i_1 + h_{22} \cdot v_2$$

$$\text{soit: } \begin{pmatrix} v_1 \\ i_2 \end{pmatrix} = [H] \begin{pmatrix} i_1 \\ v_2 \end{pmatrix}$$

④ Le Théorème de réciprocité conduit à: $h_{21} = -h_{12}$

⑤ Sens physique et expressions

$$h_{11} = \left(\frac{v_1}{i_1} \right)_{v_2=0} \quad \text{soit en fait l'impédance d'entrée du R à sortie en court circuit}$$

$$\text{Nous avons déjà montré alors: } h_{11} = z_{11} - \frac{z_{12}^2}{z_{22}} = z_{co}$$

c'est aussi équivalent à ce que montre le calcul matriciel z_{11} of TR (multiple Transfr)

$$h_{11} = \frac{\det(z)}{z_{22}} = \frac{z_{11}z_{22} - z_{12}^2}{z_{22}} = z_{11} - \frac{z_{12}^2}{z_{22}} \quad \text{en } \Omega$$

$$h_{22} = \left(\frac{i_2}{v_2} \right)_{i_1=0} \quad \text{c'est l'inverse de l'impédance de sortie à entrée sur impédance } z_{co}$$

$$h_{22} = \frac{1}{z_{22}} = \frac{1}{z_{co}} \quad \text{en Siemens}$$

$$h_{21} = -h_{12} \quad h_{21} = \left(\frac{i_2}{i_1} \right)_{v_2=0} \quad \text{Gain en courant sans dim à sortie en court circuit (B par un branch)}$$

⑥ Cas particulier de quadripôles symétriques physiquement

Dans ce cas si l'on permute les grandeurs d'entrée et de sortie les eq. restent invariante

$$v_1 = h_{11} i_1 + h_{12} v_2 \quad (1)$$

$$v_2 = h_{11} i_2 + h_{12} v_1 \quad (3)$$

$$i_2 = h_{21} i_1 + h_{22} v_2 \quad (2)$$

$$i_1 = h_{21} i_2 + h_{22} v_1 \quad (4)$$

on introduit (3) et (4) dans (1)

$$v_1 = h_{11} \cdot (h_{21} i_2 + h_{22} v_1) + h_{12} \cdot (h_{11} i_2 + h_{12} v_2)$$

$$= v_2 \cdot (h_{11} \cdot h_{22} + h_{12}^2) + i_2 \cdot (h_{11} \cdot h_{21} + h_{12} \cdot h_{11})$$

$$\text{avec } h_{12} = -h_{21} \quad \underbrace{h_{11} h_{22} - h_{12} h_{21}}_1 \quad h_{11} \underbrace{(h_{21} + h_{12})}_0$$

Pour un quadripôle physiquement symétrique

$$\text{D'où } \Delta h = h_{11} h_{22} - h_{12} h_{21} = 1$$

⑦ Paramètres Hybrides inverses

$$\begin{pmatrix} i_1 \\ v_2 \end{pmatrix} = [G] \begin{pmatrix} v_1 \\ i_2 \end{pmatrix}$$

Le Th de réciprocité montre que $g_{21} = -g_{12}$

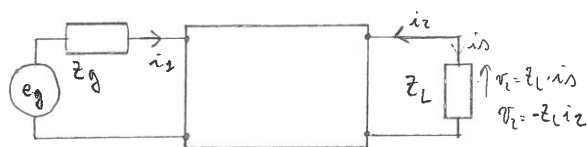
Pour un R physiquement symétrique $\Delta g = g_{11} g_{22} - g_{12} g_{21} = 1$

Sujet l'examen: (même titre?)
R physiquement symétrique
que se passe-t-il pour z
et les paramètres hij

4) quelques caractéristiques propres aux paramètres hybrides : Gains et impédances

α) Gain en tension

Soit un Q sollicité par un générateur d'impédance Z_g et fermé sur une charge Z_L



$$v_1 = h_{11} i_1 + h_{12} v_2 \quad (1)$$

$$i_2 = h_{21} i_1 + h_{22} v_2 \quad (2)$$

Le gain en tension se définit par $\frac{v_2}{v_1} = A_v$
pour l'impédance de sortie

avec (2) $i_2 = -\frac{v_2}{Z_L} = -v_2 \cdot Y_L = h_{21} i_1 + h_{22} v_2 \Rightarrow \left\{ i_1 = -\frac{(Y_L + h_{22}) v_2}{h_{21}} \right\} \quad (3)$

① Soit $v_1 = \left(-\frac{h_{11}}{h_{21}} (Y_L + h_{22}) + h_{12} \right) \cdot v_2 = v_2 \left(\frac{h_{12} h_{21} - h_{11} h_{22} - Y_L h_{11}}{h_{21}} \right) = -\frac{(\Delta h + Y_L \cdot h_{11})}{h_{21}} \cdot v_2$

d'où $A_v = \frac{v_2}{v_1} = \frac{-h_{21}}{\Delta h + Y_L \cdot h_{11}}$ Gain en tension d'un quadripôle actif

β) Gain en courant

Le gain en courant est défini par $A_i = \frac{i_2}{i_1}$ avec $i_2 = h_{21} i_1 + h_{22} (-Z_L i_2)$
soit $i_2 (1 + h_{22} \cdot Z_L) = h_{21} \cdot i_1$

$$A_i = \frac{i_2}{i_1} = \frac{h_{21}}{1 + Z_L \cdot h_{22}}$$

Gain en courant du quadripôle actif avec en régime de CC $Z_L = 0$
 $A_i = h_{21} = \beta$

γ) Gain en puissance

$$A_p = \left| \frac{v_2 \cdot i_2}{v_1 \cdot i_1} \right| = |A_v \cdot A_i| \quad \text{soit} \quad A_p = \frac{h_{21}^2}{(\Delta h + Y_L \cdot h_{11})(1 + Z_L \cdot h_{22})}$$

δ) Impédance d'entrée du quadripôle et admittance de sortie

$$Z_e = \frac{v_1}{i_1} = h_{11} + h_{12} \cdot \frac{v_2}{i_1}$$

avec selon (3) $\frac{v_2}{i_1} = \frac{-h_{21}}{(Y_L + h_{22})}$

$$Z_e = h_{11} - \frac{h_{12} \cdot h_{21}}{(Y_L + h_{22})}$$

Impédance d'entrée d'un quadripôle (actif) fonction des paramètres hybrides

Pour le calcul d'admittance de sortie : $Z_s = \frac{v_2}{i_2} \Rightarrow Y_s = \frac{i_2}{v_2}$
 $v_2 = -Z_g \cdot i_1 = (1) = h_{11} i_1 + h_{12} v_2$
d'où $i_1 (h_{11} + Z_g) = -h_{12} v_2$ et $i_1 = \frac{-h_{12} v_2}{h_{11} + Z_g}$

Selon (2) $i_2 = h_{21} \cdot \frac{-h_{12} v_2}{h_{11} + Z_g} + h_{22} v_2$

d'où $Y_s = \frac{i_2}{v_2} = h_{22} - \frac{h_{21} h_{12}}{h_{11} + Z_g}$ Admittance de sortie fonction des paramètres hybrides

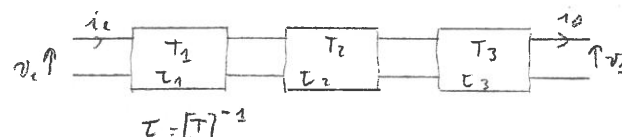
5 avril 2002

fin du cours n° 10
faire un TRIII.C] Association des quadripôlesIII.C.1) Association chaîne en cascade

Cas déjà étudié au § III.B.2.b

Bref Rappel

$$M. \text{ chaîne: } \begin{pmatrix} v_e \\ i_e \end{pmatrix} = [T] \begin{pmatrix} v_s \\ i_s \end{pmatrix} \quad [T] = [T_1] \cdot [T_2] \cdot [T_3]$$



$$M. \text{ Caractéristique } \begin{pmatrix} v_s \\ i_s \end{pmatrix} = [L] \begin{pmatrix} v_e \\ i_e \end{pmatrix} \quad [L] = [L_1][L_2][L_3]$$

Conclusion: Dans le cas de associations cascade il est recommandé d'utiliser soit les matrices de chaîne (transfert) soit les matrices caractéristiques

III.C.2) Association série de quadripôles

Le schéma de couplage prend la forme:

 v_R et i_R résultent d'un couplage

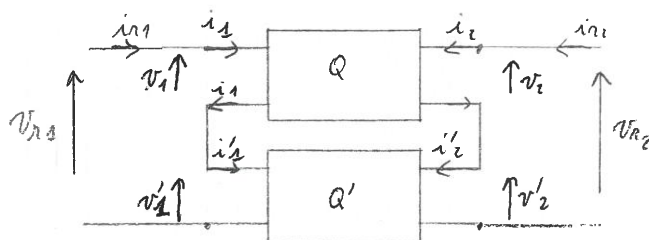
Soient:

$$\left. \begin{aligned} v_{R1} &= v_1 + v'_1 \\ v_{R2} &= v_2 + v'_2 \end{aligned} \right\} \begin{aligned} &\text{avec conservation des courants} \\ &\text{dans les axes } i_1 = i'_1 = i_2 \text{ et } i_2 = i'_2 = i_{R2} \end{aligned}$$

$$\begin{pmatrix} v_{R1} \\ v_{R2} \end{pmatrix} = [Z_R] \cdot \begin{pmatrix} i_{R1} \\ i_{R2} \end{pmatrix} = [Z_1] \cdot \begin{pmatrix} i_1 \\ i_1 \end{pmatrix} + [Z'] \cdot \begin{pmatrix} i'_1 \\ i'_2 \end{pmatrix} \Rightarrow [Z_R] = [Z] + [Z']$$

Conclusion: Pour des couplages série il est recommandé d'utiliser la matrice d'impédance

$$[Z_R] = [Z] + [Z'] \quad \text{couplages série}$$

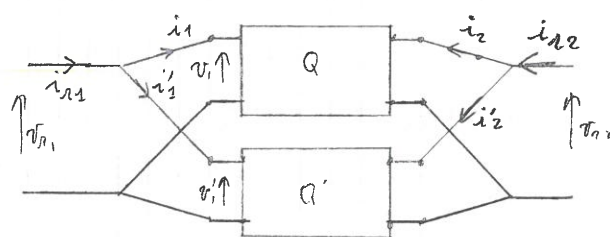
III.C.3) Association parallèle des quadripôles

Le schéma de couplage prend la forme:

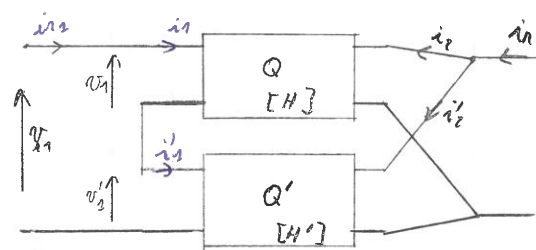
$$\begin{aligned} \text{ici } i_{R1} &= i_1 + i'_1 & v_{R1} &= v_1 = v'_1 \\ i_{R2} &= i_2 + i'_2 & v_{R2} &= v_2 = v'_2 \end{aligned}$$

Conclusion: Pour des couplages // il est recommandé d'utiliser la matrice d'admittance

$$[Y_R] = [Y] + [Y'] \quad \text{couplages parallèle}$$

III.C.4) Association mixte (et association // série)en Entrée: $v_{R1} = v_1 + v'_1$ $i_{R2} = i_1 = i'_1$ en Sortie: $i_{R2} = i_2 + i'_2$ $v_{R2} = v_2 = v'_2$

$$\begin{pmatrix} v_{R1} \\ i_{R2} \end{pmatrix} = [H] \begin{pmatrix} i_1 \\ v_2 \end{pmatrix} = \begin{pmatrix} v_1 \\ i_2 \end{pmatrix} + \begin{pmatrix} v'_1 \\ i'_2 \end{pmatrix} = [H] \cdot \begin{pmatrix} i_2 \\ v_2 \end{pmatrix} + [H'] \cdot \begin{pmatrix} i'_2 \\ v'_2 \end{pmatrix} \Rightarrow \text{Série // } \Rightarrow [H_R] = [H] + [H']$$

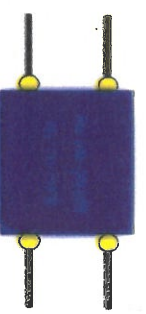
On montre que pour une association (Série //) on obtient $[G_R] = [G] + [G']$



matrix_2.cdr

ENSIM

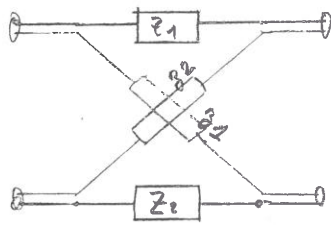
Two-port Networks Parameter Relationships



	Transmission T	Impedance Z	Admittance Y	Hybrid h-parameters h
T	$\begin{matrix} A & B \\ C & D \end{matrix}$	$\begin{matrix} \frac{Z_{11}}{Z_{21}} & \frac{\det(Z)}{Z_{21}} \\ 1 & \frac{Z_{22}}{Z_{21}} \end{matrix}$	$\begin{matrix} -\frac{Y_{22}}{Y_{21}} & -\frac{1}{Y_{21}} \\ \frac{\det(Y)}{Y_{21}} & -\frac{Y_{11}}{Y_{21}} \end{matrix}$	$\begin{matrix} -\frac{\det(H)}{h_{21}} & \frac{h_{11}}{h_{21}} \\ -\frac{h_{22}}{h_{21}} & \frac{1}{h_{21}} \end{matrix}$
Z	$\begin{matrix} \frac{A}{C} & \frac{AD-BC}{C} \\ 1 & \frac{D}{C} \end{matrix}$	$\begin{matrix} Z_{11} & Z_{12} \\ Z_{21} & Z_{22} \end{matrix}$	$\begin{matrix} \frac{Y_{22}}{\det(Y)} & -\frac{Y_{12}}{\det(Y)} \\ -\frac{Y_{21}}{\det(Y)} & \frac{Y_{11}}{\det(Y)} \end{matrix}$	$\begin{matrix} \frac{\det(H)}{h_{22}} & \frac{h_{12}}{h_{22}} \\ -\frac{h_{21}}{h_{22}} & \frac{1}{h_{22}} \end{matrix}$
Y	$\begin{matrix} \frac{D}{B} & -\frac{AD-BC}{B} \\ -1 & \frac{A}{B} \end{matrix}$	$\begin{matrix} \frac{Z_{22}}{\det(Z)} & -\frac{Z_{12}}{\det(Z)} \\ -\frac{Z_{21}}{\det(Z)} & \frac{Z_{11}}{\det(Z)} \end{matrix}$	$\begin{matrix} Y_{11} & Y_{12} \\ Y_{21} & Y_{22} \end{matrix}$	$\begin{matrix} \frac{1}{h_{11}} & -\frac{h_{12}}{h_{11}} \\ \frac{h_{21}}{h_{11}} & \frac{\det(H)}{h_{11}} \end{matrix}$
h	$\begin{matrix} \frac{B}{D} & \frac{AD-BC}{D} \\ -1 & \frac{C}{D} \end{matrix}$	$\begin{matrix} \frac{\det(Z)}{Z_{22}} & \frac{Z_{12}}{Z_{22}} \\ -\frac{Z_{21}}{Z_{22}} & \frac{1}{Z_{22}} \end{matrix}$	$\begin{matrix} \frac{1}{Y_{11}} & -\frac{Y_{12}}{Y_{11}} \\ \frac{Y_{21}}{Y_{11}} & \frac{\det(Y)}{Y_{11}} \end{matrix}$	$\begin{matrix} h_{11} & h_{12} \\ h_{21} & h_{22} \end{matrix}$

III · c · 5) Exemple de détermination d'association (utilisation des tables de correspondance)

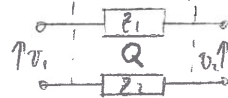
Soit à calculer la matrice impédance d'un quadripôle Treillis



(physique symétrique)
 $Z_{11} = Z_{22}$ $Y_{11} = Y_{22}$

Découpe de la mise
 en // de Q et Q'

$$Y_Q = \begin{bmatrix} 1 & -1 \\ Z_1 + Z_2 & Z_1 + Z_2 \\ -1 & 1 \\ Z_1 + Z_2 & Z_1 + Z_2 \end{bmatrix}$$



$$v_1 = Z_1 \cdot i_1 + v_2 + Z_2 i_2$$

$$i_0 = i_1 = -i_2$$

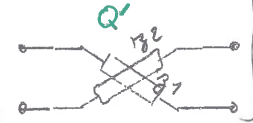
$$\text{soit } v_1 - v_2 = i_2 (Z_1 + Z_2) \Rightarrow i_1 = \frac{v_1}{Z_1 + Z_2} - \frac{v_2}{Z_1 + Z_2}$$

$$i_2 = -\frac{v_1}{Z_1 + Z_2} + \frac{v_2}{Z_1 + Z_2}$$

$$[Y_{Q'}] = \begin{bmatrix} 1 & 1 \\ g_1 + g_2 & g_1 + g_2 \\ 1 & 1 \\ g_1 + g_2 & g_1 + g_2 \end{bmatrix}$$

($Y_{11} = Y_{22}$)
 Théorème de réciprocité

$$\Leftarrow Y = \begin{bmatrix} D/B & -1/B \\ -1/B & A/B \end{bmatrix}$$



cf III · B · 2 · c matrice de transfert

$$T = \begin{bmatrix} A & B \\ C & D \end{bmatrix} = \begin{bmatrix} -1 & -(g_1 + g_2) \\ 0 & -1 \end{bmatrix}$$

D'où pour le Treillis complet

$$[Y] = [Y_Q] + [Y_{Q'}]$$

$$Y =$$

$$\begin{bmatrix} \frac{1}{g_1 + g_2} + \frac{1}{Z_1 + Z_2} & \left(\frac{1}{g_1 + g_2} - \frac{1}{Z_1 + Z_2} \right) \\ \frac{1}{g_1 + g_2} - \frac{1}{Z_1 + Z_2} & \frac{1}{g_1 + g_2} + \frac{1}{Z_1 + Z_2} \end{bmatrix}$$

La matrice impédance découle de l'inversion de $[Y]$

$$Z = \frac{1}{\Delta Y} \begin{bmatrix} Y_{22} & -Y_{12} \\ -Y_{21} & Y_{11} \end{bmatrix}$$

Soit à calculer ΔY avec $\frac{1}{g_1 + g_2} = x$ $\frac{1}{Z_1 + Z_2} = x$

$$\Delta Y = (x + x)^2 - (x - x)^2$$

$$= x^2 + 2xx + x^2$$

$$\ominus \frac{x^2 - 2xx + x^2}{}$$

$$\Delta Y = 4x \cdot x = \frac{4}{(g_1 + g_2)(Z_1 + Z_2)}$$

$$Z = \frac{1}{4} (g_1 + g_2)(Z_1 + Z_2)$$

D'où

$$Z = \frac{1}{4} \begin{bmatrix} (Z_1 + Z_2)(g_1 + g_2) & (g_1 + g_2)(Z_1 + Z_2) \\ (g_1 + g_2)(Z_1 + Z_2) & (Z_1 + Z_2)(g_1 + g_2) \end{bmatrix}$$

\Rightarrow Cas particulier où $Z_1 = Z_2$ et $g_1 = g_2$

$$Z = \frac{1}{2} \begin{bmatrix} (Z + g) & (g - Z) \\ (g - Z) & (Z + g) \end{bmatrix}$$

Matrice impédance
 du quadripôle
 Treillis "régulier"

III. c. 6] Relations entre les déterminants des matrices

$$\Delta z = \frac{1}{\Delta y} = \frac{B}{C} = \frac{h_{11}}{h_{22}}$$

$$\Delta y = \frac{1}{\Delta z} = \frac{C}{B} = \frac{h_{22}}{h_{11}}$$

(1^{ère} approx) $\Delta p = \frac{h_{12}}{z_{21}} = \frac{y_{12}}{y_{21}} = \frac{h_{12}}{h_{21}}$

$$\Delta h = \frac{z_{11}}{z_{12}} = \frac{y_{12}}{y_{11}} = \frac{A}{D}$$